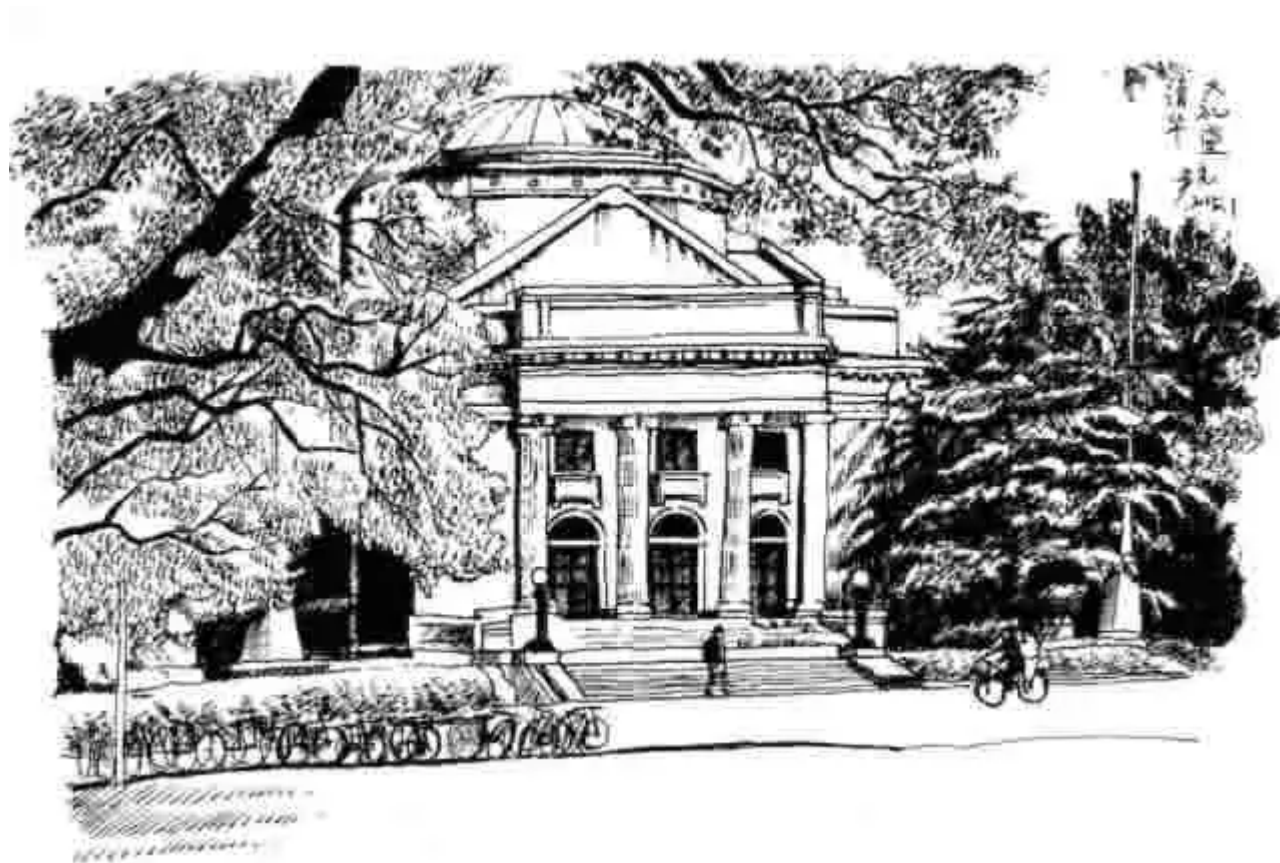


# 清华笔记：计算共形几何讲义（3）微分拓扑

顾险峰 老顾谈几何 2017-07-05



【上课时间：每周二和周四上午9:50-11:20AM；地点：清华大学，近春园西楼三楼报告厅。】

这次课程，我们介绍微分拓扑中光滑同伦群的概念和计算，特别是曲面单位切丛的同伦群。这些概念的引入一方面可以作为同伦群应用的实例，更为重要的是它们是解决工程中一个源远流长的问题的理论基础，这个问题就是“神圣网格”问题。【1】给出了本课程的视频链接。

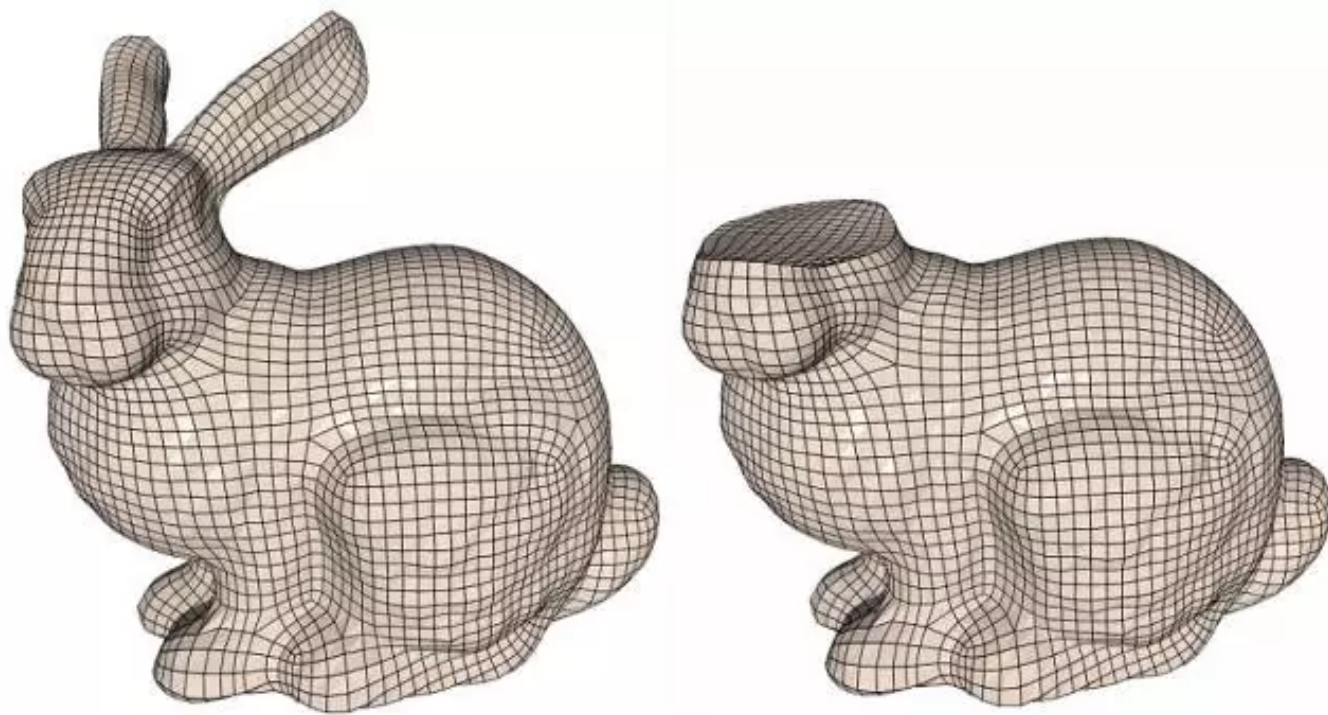


图1. 六面体网格化。

### 神圣网格问题

网格生成 (Mesh Generation) 是在计算机图形学、几何建模、计算力学的交叉领域。给定一个实体，我们希望将它进行剖分，每个剖分单元尽可能的简单规则，同时整体的组合结构尽可能的规则。图1给出了一个六面体网格的例子。通常而言，网格生成有四个类别，生成难度递增：非结构四面体网格、结构化四面体网格、非结构六面体网格、结构化六面体网格。**自动结构化六面体网格生成问题被称为是神圣网格问题**。在实际工程力学模拟过程中，网格生成步骤占据了60%的成本，因此网格生成问题具有重要的实际意义。

在过去数十年间，人们主要研究非结构化的六面体网格生成算法。一种思路是先生成体表面的四边形网格，然后将表面的四边形网格向内部扩展，生成体的六面体网格。假设 $\Omega$ 是三维空间中的一个实体 (Solid)，其边界 $\partial\Omega$ 是一张光滑曲面 (Regular Surface)，更进一步，我们假设 $\partial\Omega$ 是亏格为0的封闭曲面，换言之，拓扑球面。假设 $\Omega$ 内部存在一个六面体网格 $\mathcal{H}$  (hex-mesh)，那么 $\mathcal{H}$ 必然在边界曲面 $\partial\Omega$ 上诱导了四边形剖分 $\mathcal{Q}$  (quad-mesh)。我们更为关注其逆问题：给定边界曲面 $\partial\Omega$ 上的一个四边形网格 $\mathcal{Q}$ ，我们是否可以将 $\mathcal{Q}$ 拓展成 $\Omega$ 内部的一个六面体网格 $\mathcal{H}$ ？

历史上，瑟斯顿首先从理论上历清了这个问题【2】，他所用得理论工具来自微分拓扑。这一方法指导了六面体网格生成算法的研究长达二十多年，工业中著名的鲸须算法 (Whisker) 就是基于

这一理论【7】。

## 单位切丛的同伦群

给定一个光滑曲面 $S$ ，曲面上所有的单位切向量构成一个三维流形 $UTM(S)$ ，即所谓的单位切丛（unit tangent bundle），其定义为：

$$UTM(S) := \{(p, v) | p \in S, v \in TM_p(S), |v| = 1\}.$$

固定一个点  $p \in S$ ，所有的单位切向量构成一个圈；局部上，单位切丛具有直积结构；因此，曲面的单位切丛是一个纤维丛，每根纤维是一个圈。我们下面来直接构造球面的单位切丛。

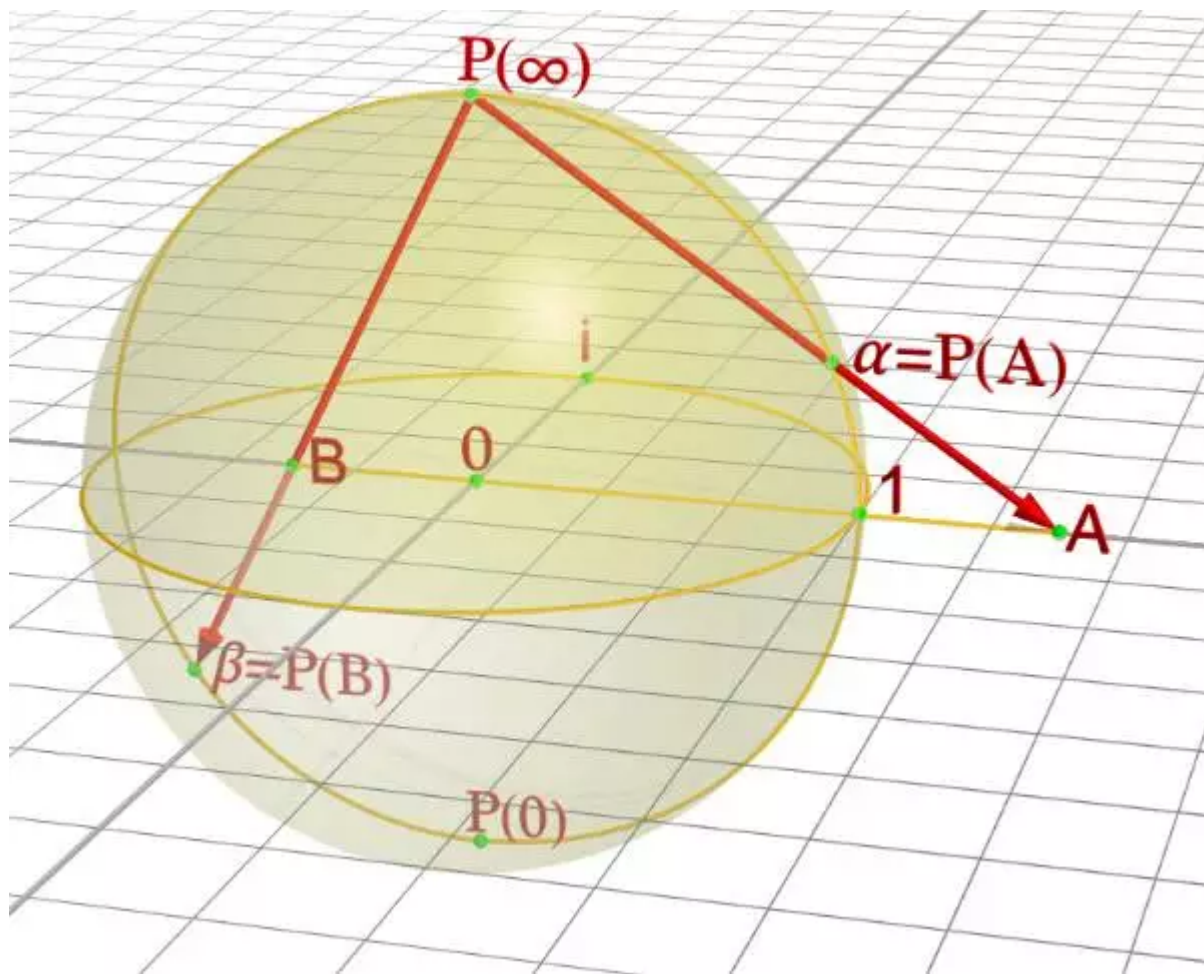


图1. 球极投影 (Stereo-graphic Projection)。



给定单位球面 $\mathbb{S}^2$ ，我们用球极投影来建立局部坐标。我们在北极放置一个光源，过赤道放置一张平面。发自北极点的射线穿透球面，投射到平面上，这样得到球面的局部坐标。球面上一点 $(x, y, z)$ 映射到平面一点 $(X, Y)$ ，直接计算得到：

$$(X, Y) = \left( \frac{x}{1-z}, \frac{y}{1-z} \right).$$

这个局部坐标无法表示北极点。我们再将光源移至南极点，得到另外一个局部坐标：

$$(U, V) = \left( \frac{x}{1+z}, \frac{y}{1+z} \right).$$

令 $z = X + iY$ ,  $w = U - iV$ ，我们得到坐标变换公式： $w = z^{-1}$ 。我们得到余切向量之间的变换公式：

$$dw = -\frac{1}{z^2}dz.$$

我们考察赤道上的一个点 $z = e^{i\theta}$ ，一个单位切向量 $dz = e^{i\tau}$ ；点坐标变换为 $w = e^{-i\theta}$ ，切向量坐标变换为 $dw = e^{\pi - i2\theta + \tau}$ 。我们将坐标变换记为： $\varphi : (z, dz) \rightarrow (w, dw)$ 。

半球面的单位切丛是平凡丛，可以表示成 $\mathbb{D}^2 \times \mathbb{S}^1$ ，这里 $\mathbb{D}^2$ ,  $\mathbb{S}^1$ 分别表示半球面和纤维。所以半球面的单位切丛是一个实心的轮胎。赤道的单位切丛是一个轮胎曲面 $\mathbb{T}^2$ ，其参数为 $(\theta, \tau)$ 。球面的单位切丛等价于将两个实心轮胎沿着其边界表面粘合起来，其粘合映射就是映射

$$\varphi : (\theta, \tau) \mapsto (-\theta, \pi - 2\theta + \tau),$$

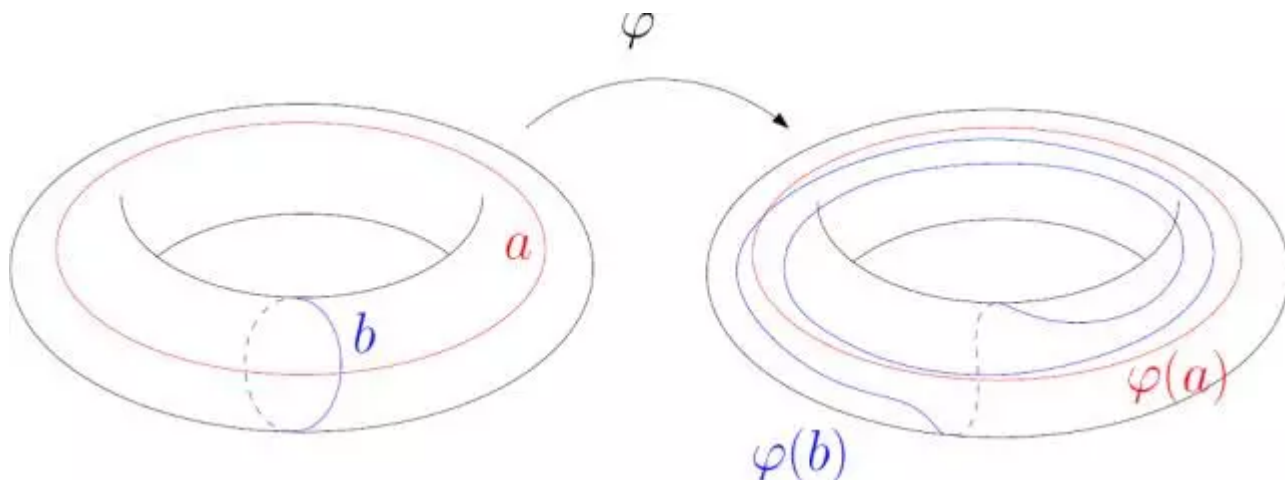


图2. 粘合映射。

粘合映射如图2所示，其中 $(a, b)$ 分别代表纤维和赤道，粘合映射诱导的基本群间的映射可以写成如下形式：

$$\varphi_* : (a, b) \mapsto (a^{-1}, a^{-2}b)$$

粘合映射将纤维映成纤维，但是将赤道映成纤维和赤道的复合。

上半球面的单位切丛是一个实心轮胎，对应的同伦群为 $\pi_1(M_1) = \langle a_1 \rangle$ ；同样的，下半球面的实心轮胎同伦群为 $\pi_1(M_2) = \langle a_2 \rangle$ ；交集为环面，同伦群为 $\pi_1(M_1 \cap M_2) = \langle a, b | aba^{-1}b^{-1} \rangle$ 。同时，在 $\pi_1(M_1)$ 中我们有 $[a] = [a_1]$ ,  $[b] = [e]$ ；在 $\pi_1(M_2)$ 中我们有 $[a] = [a_2^{-1}]$ ,  $b = [a_2^{-2}]$ 。根据Seifert-van Kampen定理，我们得到球面单位切丛的同伦群为：

$$\pi_1(M_1 \cup M_2) = \langle a | a^2 \rangle = \mathbb{Z}_2$$

模2域 $\mathbb{Z}_2$ 只有两个元素0和1，这意味着：在球面的单位切丛上，所有封闭曲线只有两个同伦类。

### 正则同伦

正则同伦和通常意义下的同伦具有本质差别。假设光滑曲面 $S$ 是一个拓扑球面， $\gamma_0$ 和 $\gamma_1$ 是光滑封闭曲线（切向量处处有定义），那么 $\gamma_0$ 可以在曲面上形变成 $\gamma_1$ ，换言之， $\gamma_0$ 和 $\gamma_1$ 彼此同伦（homotopy）。如果，我们要求 $\gamma_0$ 在形变过程中，不出现尖点，切向量处处有定义，那么我们说 $\gamma_0$ 和 $\gamma_1$ 彼此正则同伦，或者光滑同伦（regular homotopy）。图6显示，具有偶数个自相交点的圈和简单圈（无自相交点）正则同伦。

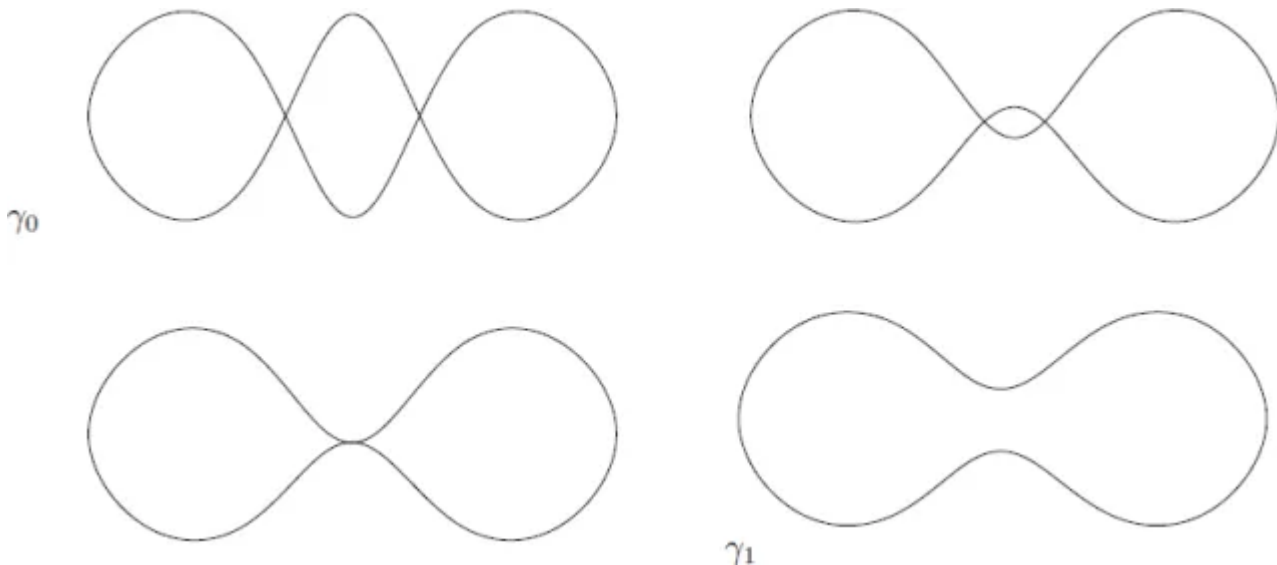


图3. 具有偶数个自相交点的圈和简单圈（无自相交点）正则同伦。

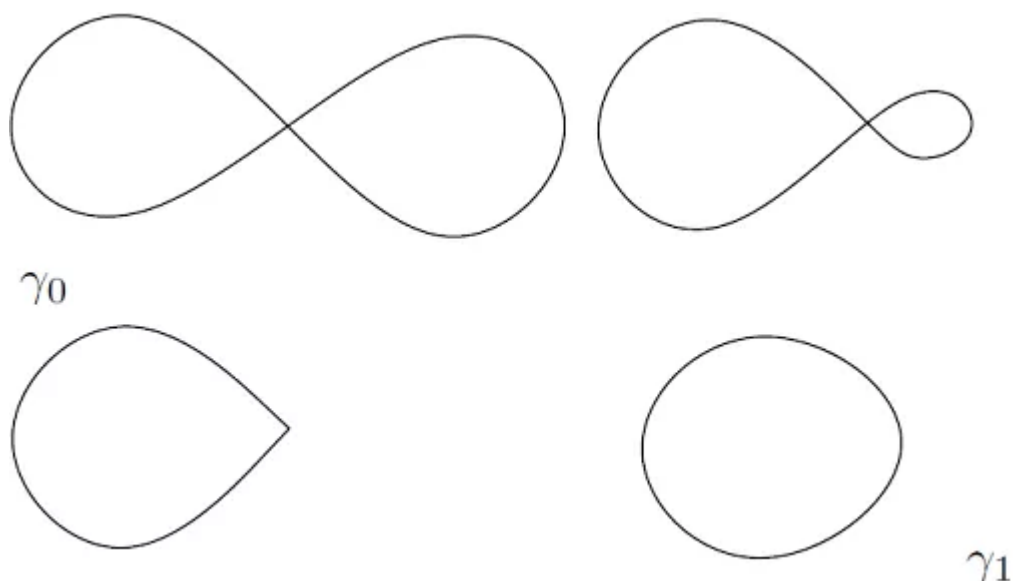


图4. 具有奇数个自相交点的圈和简单圈同伦，但是不正则同伦。

图4显示了具有奇数个自相交点的圈和简单圈同伦，但是并不正则同伦，因为在形变过程中，出现了尖点，在尖点处曲线的切向量无法定义。

那么，曲面 $S$ 上所有光滑圈是如何被正则同伦分类的呢？这里，我们需要引入另一位菲尔茨奖得主斯梅尔（Smale）的工作。底流形上的一条光滑曲线 $\gamma \subset S$ ，可以被“提升”为单位切丛上的一条曲线 $\tilde{\gamma} \subset UTM$ ，点 $\gamma(s)$ 被提升为点 $(\gamma(s), \dot{\gamma}(s)) \in \tilde{\gamma}$ ，这里 $s$ 为弧长参数， $\dot{\gamma}(s)$ 为曲线的单位切向量。斯梅尔证明了：**底流形上两个圈正则同伦，当且仅当它们的提升在单位切丛上同伦**。由此，我们得到球面上具有两个正则同伦类：具有奇数个自交点的圈和具有偶数个自交点的圈。

**如果两个圈 $\gamma_0$ 和 $\gamma_1$ 光滑同伦，则存在一个光滑曲面 $S$ 连接 $\gamma_0$ 和 $\gamma_1$ ，意即**

$$\partial S = \gamma_0 - \gamma_1.$$

### 曲面横截相交

在微分拓扑中，惠特尼（Whitney）对三维空间中光滑曲面的稳定相交情形进行了分类【3】。

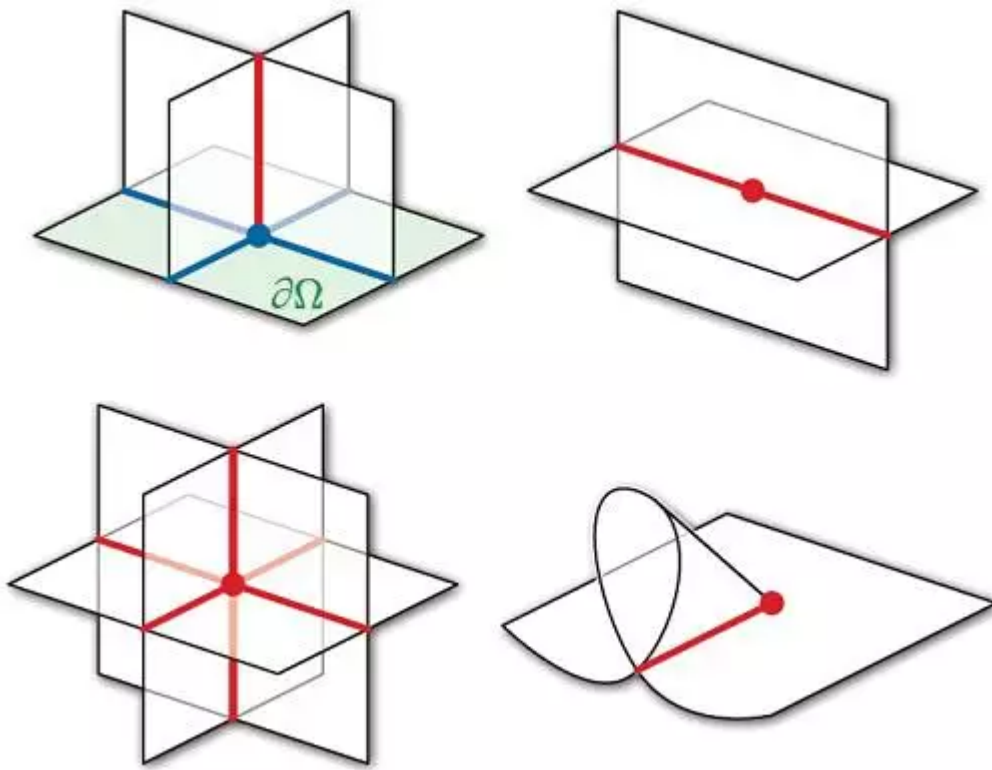


图5. 曲面稳定相交的分类，边界双重点 (boundary double point)，内部双重点 (interior double point)，三重点 (triple point)，分支点 (branch point)。

给定三维空间中一族浸入曲面，曲面之间的交点被称为奇异点。经过微小扰动，曲面之间彼此不相切，所有奇异点都是稳定奇异点。图5给出了稳定奇异点的分类。其中三重点，和分支点是我们关注的对象。

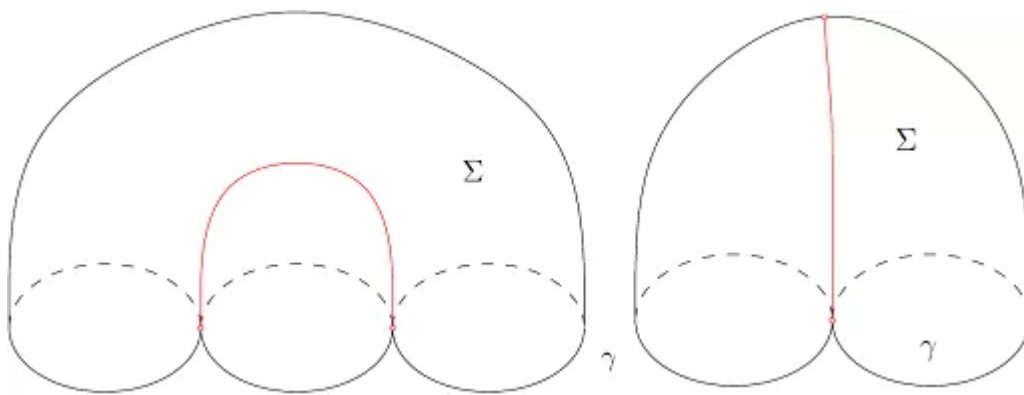


图6. 以光滑曲线 $\gamma$ 为边界的曲面 $\Sigma$ ，若曲线有偶数个自交点，则 $\Sigma$ 没有分支奇异点；若曲线有奇数个自交点，则 $\Sigma$ 必有分支奇异点。红色曲线是曲面自相交线。

如图9所示，更进一步，假设 $\gamma$ 具有偶数个自相交点，则我们可以构造一个光滑曲面 $\Sigma$ 以 $\gamma$ 为边界，同时 $\Sigma$ 有自相交曲线，但是上面没有分支奇异点；反之，若 $\gamma$ 具有奇数个自相交点，则我们构造的以 $\gamma$ 为边界的曲面 $\Sigma$ ，必然有分支奇异点。

我们再回到神圣网格问题。瑟斯顿首先只考虑了拓扑六面体剖分，即每个胞腔是拓扑六面体，然后再考虑几何嵌入问题。我们依循他的思路来考察，核心的想法是对偶。

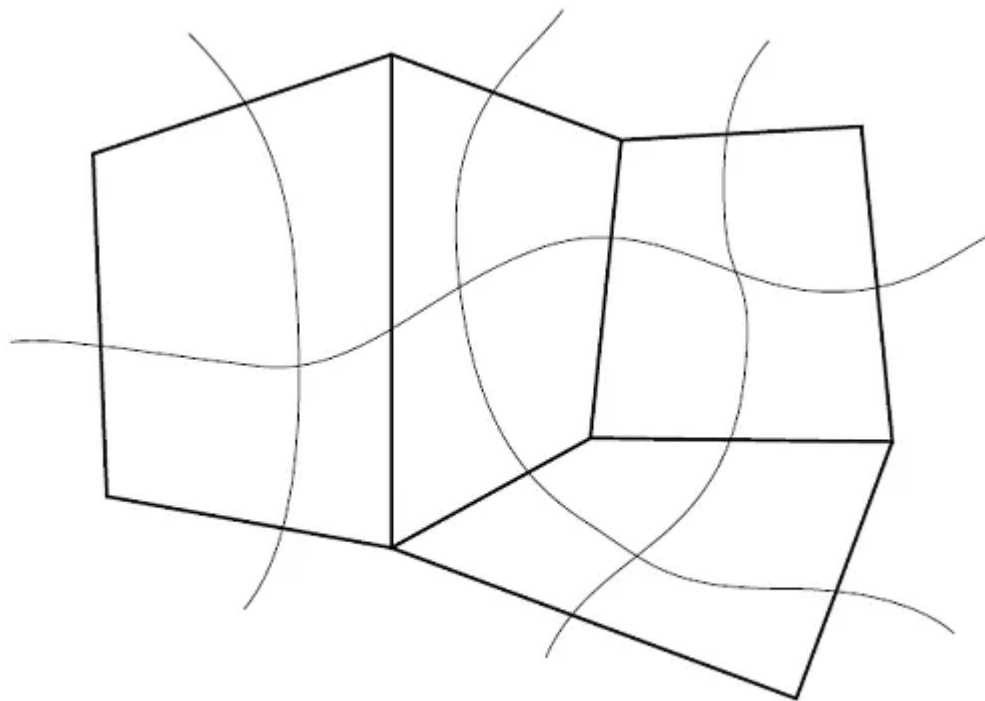


图7. 四边形网格 $Q$ 的对偶 $Q^*$ 。

我们首先介绍边界曲面 $\partial\Omega$ 上的四边形网格 $Q$ 的对偶 $Q^*$ 。如图7所示，我们在每个四边形中连接对边中点，生成两条曲线段，这些曲线段连接成全局封闭的圈，这些圈彼此相交，构成对偶的曲线网格 $Q^*$ ，对偶曲线网格 $Q^*$ 所有顶点的度都是4。



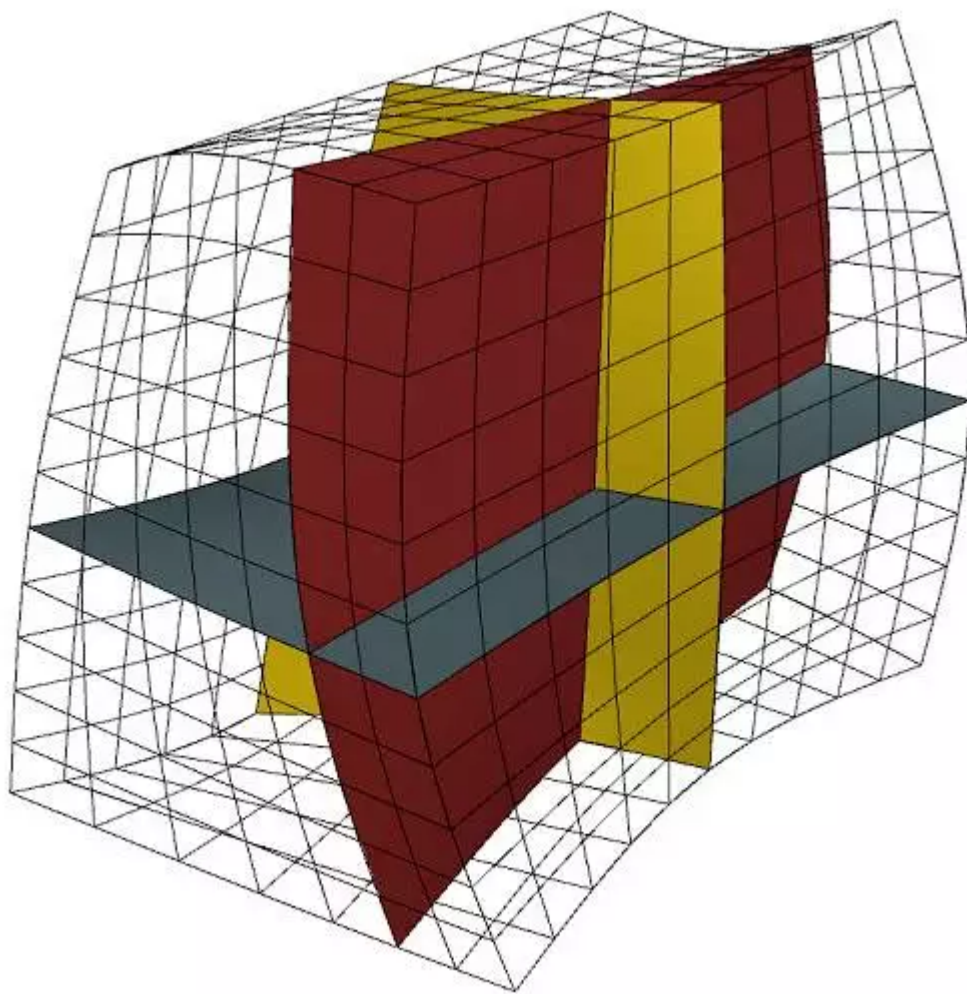


图8. 六面体网格 $\mathcal{H}$ 的对偶 $\mathcal{H}^*$ 。

同理，我们介绍实体 $\Omega$ 的六面体网格 $\mathcal{H}$ 的对偶 $\mathcal{H}^*$ 。如图8所示，我们在每个六面体中构造三张曲面片，彼此横截相交，共同交于一点。这些曲面片连接，得到全局曲面，这些曲面横截相交，构成对偶的曲面网格 $\mathcal{H}^*$ 。 $\mathcal{H}^*$ 将体 $\Omega$ 进行胞腔分解， $\mathcal{H}^*$ 的每个顶点都由三张曲面彼此横截相交得来，并且每个顶点都是Whitney理论中的三重点。

六面体网格的对偶 $\mathcal{H}^*$ 和边界曲面 $\partial\Omega$ 的交集就是四边形网格的对偶 $\mathcal{Q}^*$ 。瑟斯顿的核心想法是**从 $\mathcal{Q}^*$ 出发来构建 $\mathcal{H}^*$** 。 $\mathcal{Q}^*$ 可以被分解为很多圈，我们希望能够以这些圈为边界构造曲面，这些曲面彼此横截相交，所有的交点都是三重点，那么这些曲面构成了 $\mathcal{H}^*$ ，然后将 $\mathcal{H}^*$ 对偶，就得到六面体网格 $\mathcal{H}$ 。

这个思路的关键在于：以 $\mathcal{Q}^*$ 为边界的所有曲面的交点都是三重点，没有分支点。瑟斯顿给出了一种消除分支奇异点的方法：如图10所示，给定一对分支奇异点，我们去除奇异点的邻域，粘贴上一张曲面，则所有的交点为内部双重点。

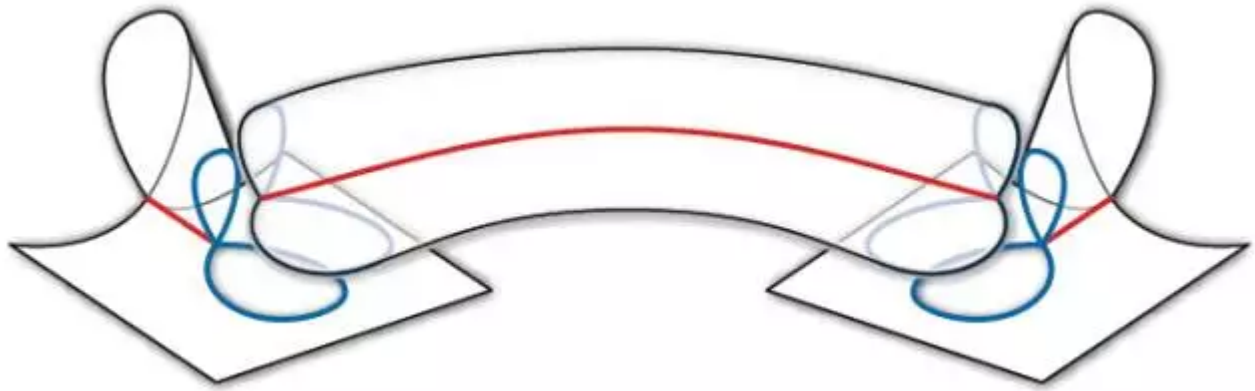


图10. 瑟斯顿的手术，消除分支奇异点【4】。

至此，我们可以证明下面的瑟斯顿定理。

**定理：**假设 $\Omega$ 是三维空间中的一个实体（Solid），其边界 $\partial\Omega$ 是一张亏格为0的光滑曲面（RegularSurface），更进一步，假设边界曲面 $\partial\Omega$ 上给定四边形剖分 $\mathcal{Q}$ 。那么四边形剖分 $\mathcal{Q}$ 能够拓展成一个六面体剖分 $\mathcal{H}$ 的充要条件是： $\mathcal{Q}$ 具有**偶数**个四边形面。

必要性： $\mathcal{H}$ 的每个六面体有6个四边形面，每个四边形面至多被两个六面体分享。因此，边界四边形必然为偶数。

充分性： $\mathcal{Q}^*$ 由一些分离的圈组成，他把这些圈依据自相交点数的奇偶分成两类：

$$\mathcal{Q}^* = \{\gamma_1, \gamma_2, \dots, \gamma_m\} \cup \{\tau_1, \tau_2, \dots, \tau_n\},$$

这里 $\gamma_k$ 有偶数个自相交点， $\tau_j$ 有奇数个自相交点。根据欧拉公式 $\mathcal{Q}^*$ 的顶点 $V$ ，边 $E$ 和面数 $F$ 满足：

$$\chi(\partial\Omega) = V + F - E = V - F = 2, \quad 4F = 2E$$

因此顶点数必为偶数。任意两个圈的交点个数必为偶数。因此，所有圈的自相交点的个数必为偶数，具有奇数个自相交的圈 $\{\tau_1, \tau_2, \dots, \tau_n\}$ 的条数 $n$ 必为偶数。过每一条 $\gamma_k$ 构造光滑曲面 $S_k$ ；将 $\{\tau_1, \tau_2, \dots, \tau_n\}$ 配对，过每对 $\tau_i, \tau_j$ 构造光滑曲面 $\Sigma_{ij}$ ，曲面族 $\{S_k, \Sigma_{ij}\}$ 没有分支奇异点。我们可以在体的内部再加入一些拓扑球面 $B_l$ ，那么 $\{S_k, \Sigma_{ij}, B_l\}$ 只有三重点，我们得到六面体网格对偶 $\mathcal{H}^*$ 。

后来，Mitchell【3】、Ericson【5】将Thurston【2】的理论推广完善，成为非结构化六面体网格生成的理论基础，所用的工具是同调理论。这种理论指导了所谓的“鲸须”（Whisker）算法【7】，成为工业界非结构化六面体网格生成最为普遍的方法。

我们所构造的单位切丛是一个三维流形，我们可否找到一张曲面，和所有的纤维只交于一点。这张曲面被称为是全局截面（global section）。由于粘合映射的强烈扭曲，我们可以推测全局截面无法存在。这个想法的精确描述需要上同调语言，全局截面存在的拓扑障碍类就是陈类。我们后面会详细介绍。

---

【 1 】 [http://m.iqiyi.com/w\\_19rtrx33gx.html?wx\\_uid1=qyid79ECB59D-5D37-4938-8C8D-94EA627E917D&wx\\_uid2=wxidoG0a9jmCUQcEL7iHVqB\\_wwWL-gS4](http://m.iqiyi.com/w_19rtrx33gx.html?wx_uid1=qyid79ECB59D-5D37-4938-8C8D-94EA627E917D&wx_uid2=wxidoG0a9jmCUQcEL7iHVqB_wwWL-gS4)

【2】 <http://www.ics.uci.edu/~eppstein/gina/Thurston-hexahedra.html>

【3】 Scott A. Mitchell, "A Characterization of the Quadrilateral Meshes of a Surface Which Admit a Compatible Hexahedral Mesh of the Enclosed Volume." In proc. 13th Annual Symposium on Theoretical Aspects of Computer Science (STACS '96), Lecture Notes in Computer Science 1046, Springer, pages 465-476, 1996.

【4】 Hassler Whitney. The singularities of a smooth  $n$ -manifold in  $(2n-1)$ -space. Ann. Math. 45(2):247– 293, 1944.

【 5 】 Jeff Erickson. Efficiently hex-meshing things with topology, *Discrete & Computational Geometry* 52(3):427–449, 2014.

【6】 David Eppstein. Linear-complexity hexahedral mesh generation. Comput. Geom. Theory Appl. 24 12:3–16, 1999.

【 7 】 Nathan T. Folwell and Scott A. Mitchell. Reliable whisker weaving via curve contraction. Eng.32 Comput. 15(3):292–302, 1999.

---

请长按下方二维码，选择“识别图中二维码”，即可关注。



【老顾谈几何】邀请国内国际著名纯粹数学家，应用数学家，理论物理学家和计算机科学家，讲授现代拓扑和几何的理论，算法和应用。

回复“**目录**”，可以浏览往期精华；回复“**智商**”，可以阅读“**如何从大脑形状判断一个人的智商**”；回复“**象牙塔**”，可以阅读“**纯粹数学走出象牙塔**”；回复“**概览**”，可以阅读“**计算共形几何概览**”。